



## Un Schéma volumes finis 3D pour un modèle d'écoulements "eau-gaz" en milieux poreux

B. Amaziane, M. Dymitrowska, S. Tchouanmo

**Journées Scientifiques du GNR MoMaS**  
Université Lyon 1, 4-5 septembre 2008.

# Plan de la présentation

- 1 Un modèle diphasique compressible et immiscible
- 2 Discrétisation volumes finis 3D
- 3 Application numérique
- 4 Conclusions et perspectives

- Conservation de la masse par phase  $\alpha = w, g$

$$\phi \frac{\partial}{\partial t} \rho_\alpha S_\alpha + \operatorname{div}(\rho_\alpha \vec{q}_\alpha) = Q_\alpha.$$

- Loi de Darcy par phase

$$\vec{q}_\alpha = -\mathbf{K}(x) \lambda_\alpha (\nabla P_\alpha - \rho_\alpha \vec{g}), \quad \lambda_\alpha = \frac{kr_\alpha}{\mu_\alpha}.$$

- Pression capillaire et saturation totale

$$P_c(S_w) = P_g - P_w, \quad S_w + S_g = 1.$$

- Autres hypothèses

- $\rho_w = \rho = cste$ ,  $\rho_g = \sigma_g P_g$  (loi des gaz parfaits)
- milieu poreux à un seul type de roche
- système à l'équilibre thermodynamique

- Quelques fonctions de  $S$  et  $P$

$$f_1 = \frac{\rho\lambda_w}{\rho\lambda_w + \sigma_g P \lambda_g}, \quad f_3 = \sigma_g P \lambda_g f_1, \quad f_2 = (\rho - \sigma_g P) f_3$$

$$F_1 = (\rho - \sigma_g P) S + \sigma_g P, \quad F_2 = \rho^2 \lambda_w + \sigma_g^2 P^2 \lambda_g, \quad F_3 = \rho \lambda_w + \sigma_g P \lambda_g$$

- Flux total :  $\vec{q} = \rho \vec{q}_w + \rho_g \vec{q}_g$
- Équation de la saturation d'eau

$$\phi \rho \frac{\partial}{\partial t} S + \text{div}(f_1 \vec{q}) + \text{div}(f_2 \mathbf{K} \vec{g}) - \text{div}(f_3 \mathbf{K} \nabla P_c(S)) = Q_w \quad (1)$$

- Équation de la pression de gaz

$$\phi \frac{\partial}{\partial t} F_1 + \text{div}(F_2 \mathbf{K} \vec{g}) - \text{div}(F_3 \mathbf{K} \nabla P) - \text{div}(\rho \lambda_w \mathbf{K} \nabla P_c(S)) = Q_t \quad (2)$$

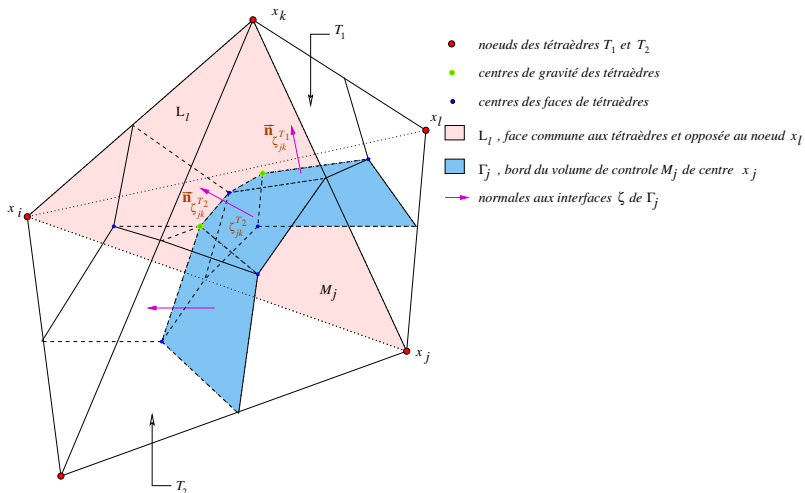
## Termes du même type dans (1) et (2)

- $f_1$  : strictement monotone en  $S$
- $f_2$  : changement de variation raide en  $S = 1$
- diffusions non linéaires :  $f_3 \nabla P_c$  et  $F_3 \nabla P$
- couplage non linéaire :  $\lambda_w \nabla P_c$

## Schéma numérique

- En temps : euler implicite
- En espace : volumes finis vertex-centred
  - ★ diffusion : approche volumes finis-éléments finis P1 [1]
  - ★ convection : schéma de type Godunov généralisé [3]
- Méthode de Newton pour les non linéarités

## Maillage primal de tétraèdres et dual de volumes de contrôles



## Notations

- $\mathcal{T}_h = (T_i)_{i=0, \dots, N_e}$  maillage primal de  $\bar{\Omega}$
- $\Sigma_h = (M_j)_{j=0, \dots, N_s}$  maillage dual
- $n =$  indice de pas de temps,  $m =$  indice d'itération de Newton
- $\hat{S} = S^n$ ,  $S^m = S^{n+1, m}$ ;  $\hat{P} = P^n$ ,  $P^m = P^{n+1, m}$
- Pour toute fonction  $\gamma$ ,  $(\gamma)^m = \gamma(S^m, P^m)$
- $\delta S^m = S^{m+1} - S^m$  et  $\delta P^m = P^{m+1} - P^m$

Intégration sur un VC  $M_j$  : on pose  $T_i = T$  puis

$$\sum_T = \sum_{\substack{T \in \mathcal{T}_h \\ T \cap M_j \neq \emptyset}}, \quad \tilde{\sum}_{\zeta_{jk}^T} = \sum_{\substack{x_k \in \mathcal{N}(T) \\ k \neq j}}, \quad \partial M_j \cap T = \bigcup_{\substack{x_k \in \mathcal{N}(T) \\ k \neq j}} \zeta_{jk}^T$$

## Equation de la saturation d'eau

$$\begin{aligned}
 (S_j^{m+1} - \hat{S}) &+ \frac{\Delta t^n}{|M_j| \phi_j \rho} \sum_T \sum_{\zeta_{jk}^T} |\zeta_{jk}^T| (f_1)_{\zeta_{jk}^T}^{m+1} (\bar{q})_{\zeta_{jk}^T}^{m+1} \cdot \vec{n}_{\zeta_{jk}^T} \\
 &+ \frac{\Delta t^n}{|M_j| \phi_j \rho} \sum_T \sum_{\zeta_{jk}^T} |\zeta_{jk}^T| (f_2)_{\zeta_{jk}^T}^{m+1} \mathbf{K}_{\zeta_{jk}^T} \vec{g} \cdot \vec{n}_{\zeta_{jk}^T} \\
 &+ \frac{\Delta t^n}{|M_j| \phi_j \rho} \sum_T \sum_{\zeta_{jk}^T} |\zeta_{jk}^T| (f_3)_{\zeta_{jk}^T}^{m+1} \mathbf{K}_{\zeta_{jk}^T} \nabla P_c(S^{m+1})_{\zeta_{jk}^T} \cdot \vec{n}_{\zeta_{jk}^T} \\
 &= \frac{\Delta t^n}{\phi_j \rho} Q_{w,j}
 \end{aligned}$$



Convection 1 :  $(f_1)_{\zeta_{jk}^T}^{m+1} \times \vec{q}_{\zeta_{jk}^T}^{m+1} \cdot \vec{n}_{\zeta_{jk}^T}$

- linéarisation de Newton : au premier ordre, on a

$$(f_1)^{m+1} \simeq (f_1)^m + \delta S^m (\partial_S f_1)^m + \delta P^m (\partial_P f_1)^m$$

et

$$\vec{q}_{\zeta_{jk}^T}^{m+1} \cdot \vec{n}_{\zeta_{jk}^T} \simeq [\vec{q}_{\zeta_{jk}^T}^m + (\delta S^m)_{\zeta_{jk}^T} (\partial_S \vec{q})_{\zeta_{jk}^T}^m + (\delta P^m)_{\zeta_{jk}^T} (\partial_P \vec{q})_{\zeta_{jk}^T}^m] \cdot \vec{n}_{\zeta_{jk}^T}$$

Choix d'une moyenne arithmétique pour  $(\delta S^m)_{\zeta_{jk}^T}$  et  $(\delta P^m)_{\zeta_{jk}^T}$

- choix du décentrement

$f_1$  monotone : on décentre suivant le signe de  $\vec{q}_{\zeta_{jk}^T}^m \cdot \vec{n}_{\zeta_{jk}^T}$

$$(f_1)_{\zeta_{jk}^T}^m = \begin{cases} (f_1)_j^m & \text{si } \vec{q}_{\zeta_{jk}^T}^m \cdot \vec{n}_{\zeta_{jk}^T} \geq 0 \\ (f_1)_k^m & \text{si } \vec{q}_{\zeta_{jk}^T}^m \cdot \vec{n}_{\zeta_{jk}^T} < 0 \end{cases}$$

Convection 2 :  $(f_2)_{\zeta_{jk}^T}^{m+1} \left( \mathbf{K}_{\zeta_{jk}^T} \vec{g} \cdot \vec{n}_{\zeta_{jk}^T} \right)$

- $f_2$  admet un extrémum local en  $S^*$  : soit  $\Lambda$  définie par

$$\Lambda(a_1, a_2, P) = \begin{cases} f_2(a_1, P) & \text{si } a_2, a_1 \leq S^* \\ f_2(a_2, P) & \text{si } a_2, a_1 \geq S^* \\ f_2(S^*, P) & \text{si } a_2 \leq S^* \leq a_1 \\ \min \{ f_2(a_1, P), f_2(a_2, P) \} & \text{si } a_1 \leq S^* \leq a_2 \end{cases}$$

- on décentre  $\Lambda$  suivant le signe de  $\vec{g} \cdot \vec{n}_{\zeta_{jk}}$

$$\begin{aligned} (f_2)_{\zeta_{jk}^T}^{m+1} \left( \mathbf{K}_{\zeta_{jk}^T} \vec{g} \cdot \vec{n}_{\zeta_{jk}^T} \right) &= \Lambda(S_j^{m+1}, S_k^{m+1}, P_{\zeta_{jk}^T}^{m+1}) \left( \mathbf{K}_{\zeta_{jk}^T} \vec{g} \cdot \vec{n}_{\zeta_{jk}^T} \right)^+ \\ &+ \Lambda(S_k^{m+1}, S_j^{m+1}, P_{\zeta_{jk}^T}^{m+1}) \left( \mathbf{K}_{\zeta_{jk}^T} \vec{g} \cdot \vec{n}_{\zeta_{jk}^T} \right)^- \end{aligned}$$

Flux diffusif :  $(f_3)_{\zeta_{jk}^T}^{m+1} \mathbf{K}_{\zeta_{jk}^T} \nabla P_c(S^{m+1})_{\zeta_{jk}^T} \cdot \vec{\mathbf{n}}_{\zeta_{jk}^T}$

$$\begin{aligned} & \sum_T \sum_{\zeta_{jk}^T} |\zeta_{jk}^T| (f_3)_{\zeta_{jk}^T}^{m+1} \mathbf{K}_{\zeta_{jk}^T} \nabla P_c(S^{m+1})_{\zeta_{jk}^T} \cdot \vec{\mathbf{n}}_{\zeta_{jk}^T} \\ &= \sum_T (f_3)_T^{m+1} \nabla P_c(S^{m+1})_T \cdot \mathbf{K}_T \sum_{\zeta_{jk}^T} |\zeta_{jk}^T| \vec{\mathbf{n}}_{\zeta_{jk}^T} \end{aligned}$$

$\varphi_j$  fonction de base au nœud  $x_j$ ,  $\forall T/T \cap M_j \neq \emptyset$ , on a :

$$\sum_{\zeta_{jk}^T} |\zeta_{jk}^T| \vec{\mathbf{n}}_{\zeta_{jk}^T} = \frac{|L_j|}{3} \vec{\mathbf{n}}_{T,j} \quad \text{et} \quad \nabla \varphi_j|_T = -\frac{|L_j|}{3|T|} \vec{\mathbf{n}}_{T,j}$$

avec  $L_j$  face opposée au nœud  $x_j$  et  $\vec{\mathbf{n}}_{T,j}$  sa normale sortante.

Ainsi,  $\nabla P_c(S^{m+1})_T = \sum_{\substack{x_k \in \mathcal{N}(T) \\ k \neq j}} (P_c(S_k^{m+1}) - P_c(S_j^{m+1})) \nabla \varphi_k$

- on approche  $(f_3)_T^{m+1}$  par une moyenne arithmétique :

$$(f_3)_T^{m+1} = \frac{1}{4} \sum_{x_\alpha \in \mathcal{N}(T)} (f_3)_\alpha^{m+1}$$

- on linéarise  $(f_3)^{m+1}$  et  $P_c(S^{m+1})$
- on pose :  $\mathfrak{D}_{j,k}^T = -\frac{|T|}{|\zeta_{jk}^T|} \mathfrak{s}_{jk} \nabla \varphi_k \cdot \mathbf{K}_T \nabla \varphi_j$   
et  $\mathfrak{s}_{jk}$  la distance entre les noeuds  $x_j$  et  $x_k$
- on déduit le terme de diffusion en fonction de :  
 $\delta S_j^m$ ,  $\delta P_j^m$  et  $\delta S_k^m$ ,  $\delta P_k^m$ ,  $k \neq j$

La discrétisation de l'équation en pression de gaz est similaire

- Le système linéaire couplé à résoudre

$$\begin{bmatrix} \mathcal{M}^{1,1} & \mathcal{M}^{1,2} \\ \mathcal{M}^{2,1} & \mathcal{M}^{2,2} \end{bmatrix} \begin{bmatrix} \delta S^m \\ \delta P^m \end{bmatrix} = \begin{bmatrix} \mathcal{S}^1 \\ \mathcal{S}^2 \end{bmatrix} \quad (3)$$

- Un choix de découplage :

Calculer  $P^{m+1}$  sachant  $S^m$  puis  $S^{m+1}$  avec  $P^{m+1}$

- ★ soit externe à l'algorithme de Newton
- ★ soit interne à l'algorithme de Newton

Alors on résout (2) puis (1)

## Environnement

LibMesh - A parallel adaptive C++ Finite Element Library  
<http://libmesh.sourceforge.net/>

- Mailleurs : Gmsh, Mefisto, TetGen *etc.*
- Éléments finis : Lagrange, Hermite, discontinu  $P_0$
- Méthodes non linéaires : Class `NewtonSolver`
- Solveurs importables : LASPack, PETSc, METIS *etc.*
- Post-processing : VTK, Tecplot *etc.*

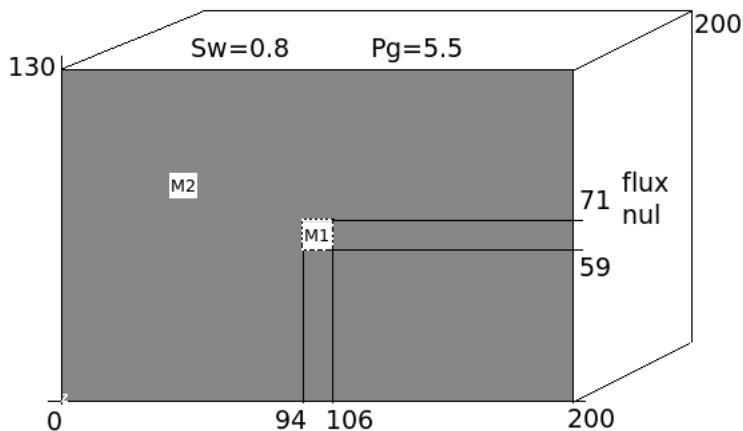
## Choix

- Maillageur TetGen : maillage de tétraèdres non structurés et conformes de type Delaunay
- Volumes finis vertex-centred intégrés
- Algorithme de Newton classique
- Solveur linéaire *GMRES* préconditionné *ILU0*
- Format de sortie VTK

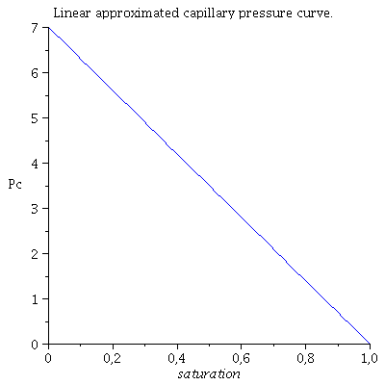
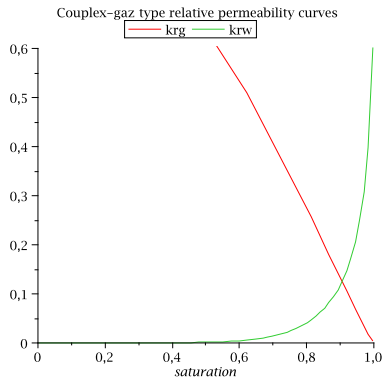
## Un cas test en milieu homogène isotrope

Conditions initiales

$S_w = 0.5$  dans  $M_1$ ,  $S_w = 0.8$  dans  $M_2$ ,  $P_g = 5.5$ ,  $K = 1.10^{-16}$







- On injecte du gaz via le terme source dans  $M_1$  :  
 $Q_g = 1000 \text{ mol/an}$
- On néglige la gravité

## Evolution de la saturation d'eau au coeur du cube

Fig.: Gauche : saturation d'eau à  $t = 1$  ans ; min-max :  $[0.57, 0.8]$

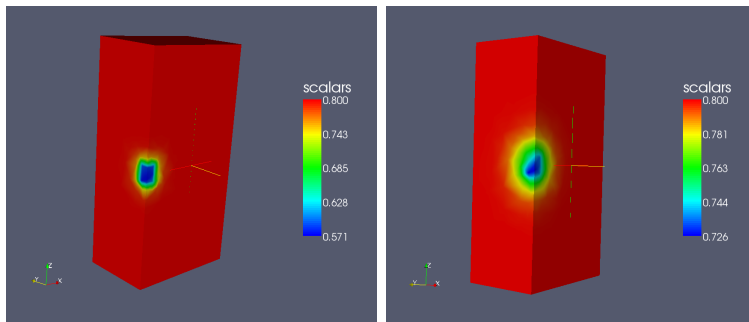


Fig.: Droite : saturation d'eau à  $t = 5$  ans ; min-max :  $[0.72, 0.8]$

## Evolution de la pression de gaz au coeur du cube

Fig.: Gauche : Pression de gaz à  $t = 1$  ans

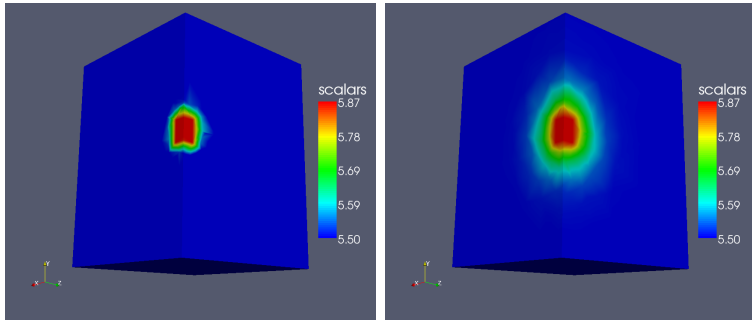


Fig.: Droite : Pression de gaz à  $t = 5$  ans

- Achever l'implémentation du schéma et le valider sur le benchmark "Couplex-Gaz" [2]
- Trouver une stratégie pour le choix du pas de temps
- Utilisation de moyens de calcul intensif pour les cas réels
- Étude théorique du schéma
- ★ existence et unicité d'une solution du problème discrétisé ?
- ★ stabilité et convergence du schéma ?

### difficultés

- ★ équations dégénérées et couplées
- ★ hypothèses optimales sur le maillage pour avoir le principe du maximum : la condition de Delaunay est insuffisante en 3D [4, 5]

# Bibliographie



B. Amaziane, M. Dymitrowska, M. El Ossmani, and C. Serres.

A vertex-centred finite volume method for immiscible compressible two-phase flow in heterogeneous porous media.

Submitted 2008.



ANDRA.

Cas Test Couplex-Gaz 2 : Modélisation 3D d'une zone de stockage de déchets vitrifiés.

[http://www.andra.fr/IMG/pdf/Cas\\_test2.pdf](http://www.andra.fr/IMG/pdf/Cas_test2.pdf), 2006.



R. Eymard, T. Gallouët, M. Ghilani, and R. Herbin.

Error estimates for the approximate solutions of a nonlinear hyperbolic equation given by finite volume schemes.

*IMA Journal of Numerical Analysis*, 18(4) :563–594, 1998.



Franck W. Letniowski.

Three-dimensional delaunay triangulations for finite element approximations to a second-order diffusion operator.

*SIAM J. Sci. Stat. Comput.*, 13(3) :765–770, May 1992.



F.W. Letniowski and P.A. Forsyth.

A control volume finite element method for three-dimensional napl groundwater contamination.

*International journal for numerical methods in fluids*, 13 :955–970, 1991.